

关于侧抑制神经网络的研究

汪云九

(中国科学院生物物理研究所)

侧抑制神经网络是一种比较简单的神经网络。

侧抑制(lateral inhibition)现象已在人眼及许多动物(猫、蛙、鲎等)的视觉系统中得到证实(在其它感觉系统中,如听觉、皮肤触觉等,也存在这种现象);目前,人们对这类神经网络特别是鲎的复眼中侧抑制现象的研究,已比较深入。侧抑制神经网络的生理意义是很明确的,它可以使输入图形经加工后产生边框突出、轮廓增强的效果,类似于一种“空间微分”的作用;因此,得到光学信息加工、图像识别和仿生学研究等方面人们的重视。

本文就侧抑制网络的生物学研究、数学描述以及电子模拟工作,作一简要的介绍。

一、生物原型研究

侧抑制现象最初是由 Hartline 在鲎的侧眼上,用电生理方法直接观察到的。

鲎是一种节肢动物,又称马蹄蟹,生长于沿海浅滩上。成年鲎的侧眼长约2厘米、宽1厘米,是由大约1千个小眼组成的复眼。据生物进化史考察,鲎最盛于白侏罗纪,至今未绝种且变异不大,因而有“活化石”之称。它的视神经较粗大,甚至可用尖针拨离出单纤维进行电生理记录,因而是一种很好的实验材料。

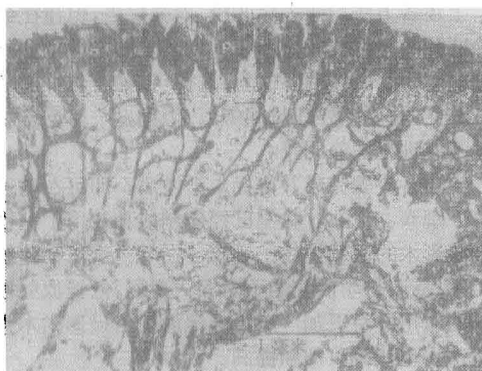


图1 鲎侧眼的切片(银染色)

上部的深色部分是小眼,从小眼延伸下来错综复杂的是神经纤维,下部显示出视束;图中未包括角膜和晶锥

如果垂直于鲎侧眼的角膜作一切面,可以看到复眼结构的图形:最上面一层是角膜,光线经过角膜、晶

锥最后作用于小眼;每一小眼下方延伸出一束神经纤维,构成一层交错复杂的神经网络从(图1)。如果把单个小眼再行放大,可以看到小眼的内部构造(图2):每个小眼是由十到十五个“视网膜细胞”像桔子瓣似的、围绕一个中心管道形成的一个整体,中心管道是偏心细胞的突起,而偏心细胞的近端伸展出一条比较粗大的轴突。每一个小眼一般只含有一个偏心细胞,只有从偏心细胞的神经纤维上才能记录到峰形神经脉

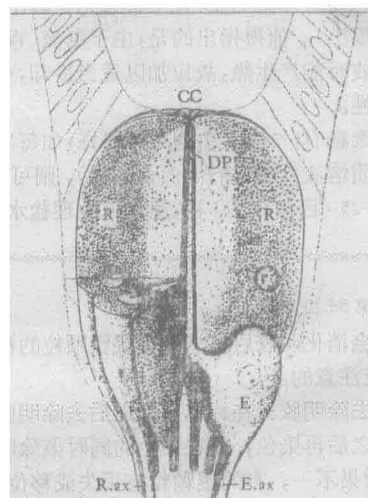


图2 单个眼睛的模式图(纵断面和部分横切面)
CC——晶锥; R——视网膜细胞; DP——偏心细胞突起; E——偏心细胞; E.ax——偏心细胞轴突; R.ax——视网膜细胞轴突

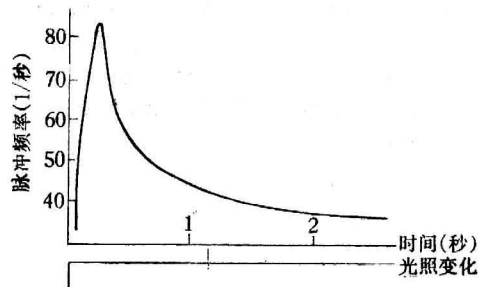


图3 单个眼睛对单独光刺激的反应
(神经脉冲的瞬态变化)

冲，其电位可达 60 毫伏。

如果把光线集中到某个小眼（用适当办法使它与其余小眼进行光学上的隔离），并记录其电位变化，然后换算成瞬态频率，作图，就是单个小眼对单独光照的反应情况（图 3）。单个小眼在光照开始或光照突增时，脉冲发放十分密集或瞬态频率很高；大约经过一秒钟后很快衰减到一个稳态值，这种衰减是单调的，近似于指数下降，这就是感受器的适应现象。稳态值可维持一个相当长的时间。稳态值（脉冲频率）与光照强度有密切关系，在一定范围内脉冲频率与光强的对数成比例。

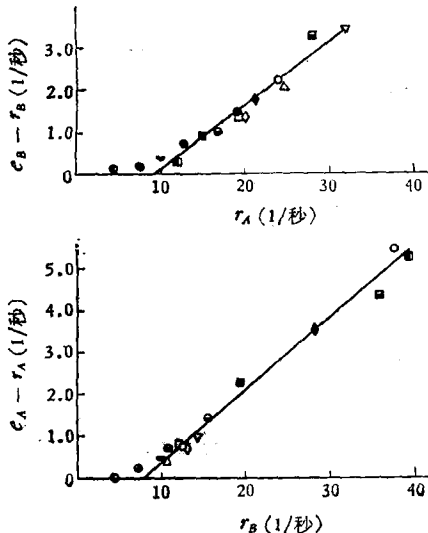


图 4 小眼 A 和 B 之间的抑制作用

如果一个小光点单独照 A 小眼时其稳态脉冲频率为 e_A ，单独照 B 小眼时其稳态脉冲频率为 e_B ，用二个光点同时照 A 和 B 小眼时的脉冲频率分别为 r_A 和 r_B ；又若以 $e_A - r_A$ 及 $e_B - r_B$ 为纵坐标，另一小眼的脉冲频率（即 r_B 及 r_A ）为横坐标，对实验结果作图（图 4），则可用一条直线近似的来表示，即可写成直线方程：

$$\{e_A - r_A = K_{AB}(r_B - r_{AB}^0) \quad (1)$$

$$\{e_B - r_B = K_{BA}(r_A - r_{BA}^0) \quad (2)$$

式中， K_{BA} 和 K_{AB} 分别为图 4 中上、下两条直线的斜率，称为抑制系数， K_{AB} 即 B 小眼对 A 小眼的抑制系数， K_{BA} 是 A 对 B 的抑制系数； r_{AB}^0 是下面一条直线在横坐标上的截距，称为 B 对 A 的抑制阈值，同理 r_{BA}^0 为 A 对 B 的抑制阈值。实验结果表明，只有当 A 小眼的兴奋性大于某值时，才产生对 B 小眼的抑制作用；反之亦然。因此只有当 $r_B > r_{AB}^0$ 时式(1)才成立，如果 $r_B \leq r_{AB}^0$ ，则退化为 0，即 $e_A = r_A$ ；同样，只有当 $r_A > r_{BA}^0$ 时式

(2) 才成立，反之退化为 0，即 $e_B = r_B$ 。将式(1)、(2)中各项移项，可写成下列形式：

$$\{r_A = e_A - K_{AB}(r_B - r_{AB}^0) \quad (3)$$

$$\{r_B = e_B - K_{BA}(r_A - r_{BA}^0) \quad (4)$$

实验又证明，多个小眼对同一小眼的抑制作用，可以线性叠加。因此， n 个小眼构成的抑制网络，其中第 p 个小眼的输出 r_p 为：

$$r_p = e_p - \sum_{i=1}^n K_{pi}(r_i - r_{pi}^0) \quad (5)$$

$$p = 1, 2, \dots, n$$

$$i = 1, 2, \dots, n$$

$$p \neq i$$

式(5)是 Hartline 关于蝶侧眼中侧抑制作用的方程式。其中， K_{pi} 是第 i 个小眼对 p 的抑制系数，一般说来 K_{pi} 随距离增加而减少，其具体关系如图 5：沿腹背方向，大约相距三个小眼的抑制系数最大；沿头尾

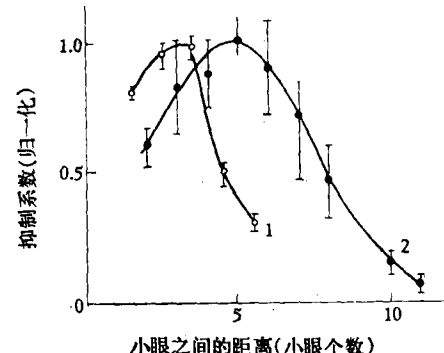


图 5 抑制系数与小眼之间距离的关系

1——腹背方向；2——头尾方向

方向，大约相距五个小眼的抑制作用最大。 r_{pi}^0 是 i 小眼对 p 小眼的抑制阈值，一般说来 r_{pi}^0 随距离增加而增加。式(5)中的括号不能简单地去掉，其真正含义是：若 $r_i \geq r_{pi}^0$ ，括号取 $r_i - r_{pi}^0$ ；如果 $r_i < r_{pi}^0$ ，则括号取 0。因此，式(5)并不是一简单的线性方程组，而是一非线性方程组，求解 r_p (侧抑制网络的输出) 比较麻烦。

蝶眼中发生的相互抑制作用，经实验证明是一种循环式的抑制过程。这种抑制作用的特点是：每个小眼对另一小眼的抑制作用取决于前者的活动水平(r_p)，而不是简单地取决于光照值 e_p ；换言之，抑制作用取决于网络的输出而不是网络的输入。如果取决于网络的输入，则称为非循环式的抑制。这两者的区别是明显的，见图 6，注意循环抑制网络的信号流中有一反向的支流，而非循环抑制的信号流都是同向的。循环抑制作用相当于多步非循环抑制的效果之总和。在循环抑制网络中，每个小眼的影响不仅作用于邻近小眼，而且最终影响到所有其他小眼。

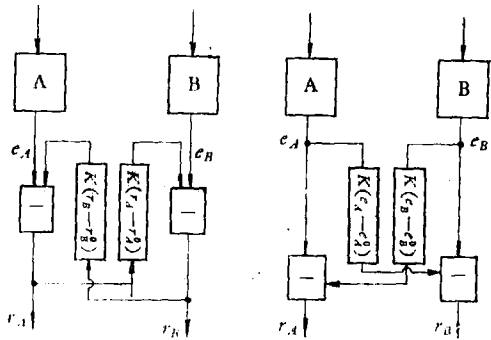


图 6 循环抑制(左)与非循环抑制(右)

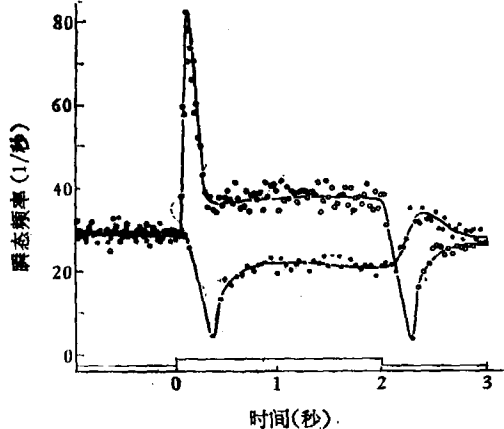


图 7 两个小眼之间的相互抑制过程

- 为受恒定光照的小眼的反应
- 为受突变光照的小眼的反应

单个小眼受光照射后，约需 1 秒钟其反应才达到稳态值；整个网络在接受光照图式以后，其侧抑制过程是在动态过程中发生的，因而研究侧抑制网络的瞬态反应引起人们的注意。实验上已记录两个小眼之间的相互抑制过程，其中一个小眼给予恒定光照，另一小眼的光照突然增加、然后突然降低，分别记录这两个小眼的动态输出，结果如图 7。

在作了一系列假定之后，Hartline 认为把式(5)略作修改就可表示网络的瞬态过程：

$$r_p(t) = c_p(t) - \sum_{j=1}^n K_{pj} \cdot \left\{ \frac{1}{T} \int_0^t \exp[-(t'-t)/T] r_j(t') dt' - r_{jp}^0 \right\} \quad (6)$$

式(6)中，\$T\$ 是传递抑制性作用的某种物质的时间常数，当然是假设性的。当 \$t \rightarrow \infty\$ 时，式(6)变为稳态方程(5)。

1970 年前后，人们开展另一方面的工作，即专门研究单个小眼的时间特性。这些实验把整个董眼近似地看作一个线性系统，运用工程控制论中研究线性系统的方法，以各种频率的光照变化刺激小眼，记录其频

率响应，然后求出传递函数。这类实验假设小眼内有几个部件(图 8)，并对其中各个部件以及总体特性加以研究。通过这些实验发现有兴趣的是：用 2—5 周/秒的光照射小眼时，侧抑制系统比无抑制的幅频值更大；换言之，在一定频率范围内，侧抑制系统有一定的放大作用。这种放大作用的原因是侧抑制作用有一定的时间延迟(约 150 毫秒)，因此人们称这种放大作用为“交流放大”。

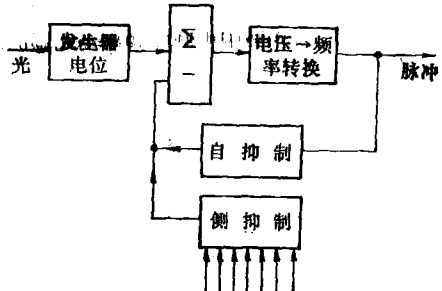


图 8 董小眼功能的示意图

根据类似的观点，考察侧抑制网络的“空间频率”特性，无论从理论上还是从实用意义上考虑，都是极有意义的，但遗憾的是目前尚未取得很多实验结果。同样，对于侧抑制网络时空特性的综合研究，进行的工作也很少。

二、侧抑制网络的数学描述

侧抑制现象产生的视觉生理效果，一百多年前由马赫(Mach)发现，并用心理物理实验加以测定。在日常生活

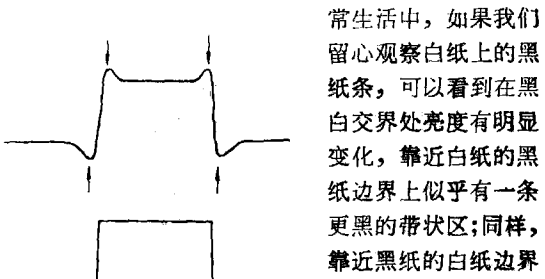


图 9 马赫带的产生(箭头所指处)

- 上：亮度的主观感觉；
- 下：亮度的客观分布

生活中，如果我们留心观察白纸上的黑纸条，可以看到在黑白交界处亮度有明显变化，靠近白纸的黑纸边界上似乎有一条更黑的带状区；同样，靠近黑纸的白纸边界上有一条更亮的带子，这种更亮(或更暗)的带状区被称为马赫带(图 9)。但若用仪器来测量的话，并不存在这个带状区。肉眼观察到的这种现象完全是人眼的神经结构产生的作用。Mach 带存在的先决条件是亮度在空间上有所变化。Mach 认为主观感觉到的亮度与实际测得的亮度之差，其成因在视网膜中；但限于当时条件，还不能用直接的方法证明这一现象确实是神经网络的作用。Mach 提出的侧抑制神经网络的二次微分模型，当然只是宏观的、近似的定性的描述了侧抑制现象：

$$R = I - m \left(\frac{d^2 I}{dx^2} + \frac{d^2 I}{dy^2} \right) \quad (7)$$

式中, R 为感受曲线(即神经反应), $I = f(x, y)$ 是光照分布, m 是某一常数。这一数学模型虽然粗糙,但比较简单,因而在电子学上实现起来比较容易。

关于抑制网络的其它的一些数学模型,列于表 1。

表 1 抑制网络的六种模型

	数 学 表 达 式	作 者
1	$r_p = I_p - \frac{kI_p}{\sum_{j=1}^n K_{pj} I_j}$	Mach (1865)
2	$r_p = \log \frac{I_p}{1 + \sum_{j=1}^n K_{pj} I_j}$	Fry (1948)
3	$r_p = \sum_{i=1}^n K_{pi} I_i$	Huggins 等 (1951)
4	$r_p = e_p + \sum_{j=1}^n K_{pj} r_j$	Taylor (1956)
5	$r_p = e_p - \sum_{j=1}^n K_{pj}(r_j - r_{pj}^0)$	Hartline 等 (1958)
6	$r_p = \sum_{j=1}^n K_{pj} I_j$	Békésy (1960)

表 1 的各种模型中,以 Hartline 的数学式最为重要,因为它是经电生理方法得到验证的。

围绕 Hartline 式,人们已经和正在进行一些工作。例如,作为一个抑制性网络,其抑制系数 K_{pj} 是很重要的,特别是用电子学方法模拟时,如果 K_{pj} 选择不适当,则网络可能不稳定,或者方程式没有唯一的解。对于 Hartline 式,即式(5), Melzak, Z. A. (1962)提出了解存在且唯一的条件。

式(5)中($r_j - r_{pj}^0$)项的生理意义是侧抑制的阈值特性;从数学角度来看,由于引入了这一非线性项,给式(5)的数学讨论增加了极大的复杂性。带有这种非线性项的网络,研究得还比较少。

近年来,在光学系统的研究所中,由于引进电子学的关于时间滤波的概念,用“空间滤波”概念来研究分析光学系统的特性以后,类似的观点和方法也渗透到视觉生理学的研究中来了。这类研究工作的基本思路如下:

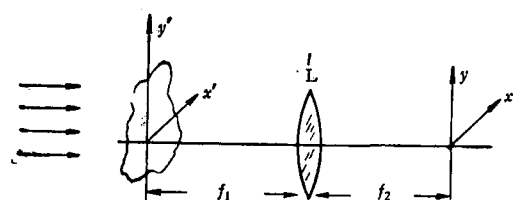


图 10 产生富氏变换的光学系统

参见图 10,设有一透镜 L ,若在前焦面 (x', y') 上有一物体 $f(x', y')$,则在后焦面 (x, y) 上成像 $g(x, y)$,这就是物体的频谱,或称 $f(x', y')$ 的富氏变换,也就是透镜 L 对物像进行了一次富氏变换。研究一个光学系统的特性,就是研究这个系统的“变换”特性。

如果在前焦面上有一点光源,则在后焦面上成一像,这就是点散布函数 $h(x, y)$ 。对于线性系统来说,如果输入图形 $f(x, y)$,则经过透镜后,输出图形 $g(x, y)$ 是 $h(x, y)$ 与 $f(x, y)$ 的褶积:

$$g(x, y) = \int_{-\infty}^{\infty} \int_{-\infty}^{\infty} f(x', y') h(x-x', y-y') dx' dy' \quad (8)$$

因此,如果知道了一光学系统的点散布函数 $h(x, y)$,则对于任何一个输入图形,都可根据式(8)求得其输出。

若点散布函数 $h(x, y)$ 的富氏变换为 $W(\nu)$,其中 ν 是空间频率,输入图形 $f(x, y)$ 的富氏变换为 $F(\nu)$,则输出图形的富氏变换为 $G(\nu)$:

$$G(\nu) = F(\nu) \cdot W(\nu) \quad (9)$$

任何一个实际透镜对于所有空间频率并不都是“平等”的,有的频率传递较好,有的频率衰减比较大,因此,可以把透镜看作是一种传递函数为 $W(\nu)$ 的“空间滤波器”。

近年来,有一些研究工作运用上述观点来考察人和动物的视觉系统,包括光学成像部分以及神经传递部分。例如, Ratliff (1965) 等认为,人眼的光学部分是一种“低通滤波器”,即对于图形的高频部分衰减较多,因而使图形的轮廓(高频分量)变得模糊,而侧抑制网络的作用则补偿了人眼光学部分的这一缺点,使模糊的像又变得清晰起来。 Harth 等(1972)认为,侧抑制网络是一种理想散布函数,即在多次重复之下可以保持信息不变。

国内有人在电子计算机上模拟了侧抑制网络,认为经过这一网络的加工以后,输出图形的平均照度降低,但黑白反差却增强;并认为小眼排列成六角形比排列成正方形的效果更佳。

三、侧抑制网络的电子模型

侧抑制神经网络的电子模型,近二十年来陆续有所发表,按其性质和用途可分成两类。第一类暂称实验模型,建立这类模型的目的是想了解网络本身特性,或者验证生物学实验;这类模型一般在实验室制作,偏重于这一网络的理论研究。第二类暂称工程模型,建立这类模型的目的在于应用,或力图在工程上实现;因为这类模型着重于应用,所以比较简单,与生物原型有一定差距。现分别举例如下。

属于第一类模型的,较早的是杨嘉墀研制的一台专用模拟计算机,用于配合生物学实验以验证三群小眼之间侧抑制作用的可加性。 Taylor, W. K. (1956) 实现了 21×21 个单元的抑制性网络,并观察了相互兴

奋性网络的一些行为。安田稔等人(1971)研制成700个光感受器的电子模型,可以模拟Mach现象。

也有若干属于第一类、但不研制专门的电子模型,而是利用已有的数字计算机进行模拟工作的。这类数学模拟无需专用设备,比较灵活,但每次实验需要的计算时间较长,特别是当网络的规模相当大的时候。我们曾在1965年利用数字电子计算机,对侧抑制网络的稳态输出、信息加工特点以及瞬态特性也进行了模拟。

由于侧抑制是视觉系统中普遍存在的一种生理现象,也是视觉系统信息加工的一个特点,因而在设计一些图像加工系统(例如电视系统)、图形识别系统时,或者可以利用这一特点,或者应当针对人眼的这一特点进行设计。目前,电视系统中的“勾边电路”,能使图像

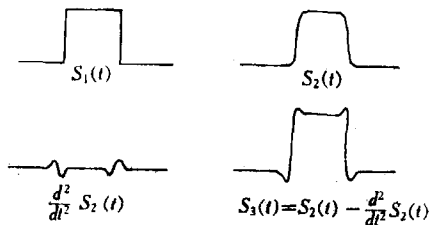


图 11 二次微分式“勾边电路”的波形原理图

的边缘突出、轮廓鲜明。最简单的一种“勾边电路”是二次微分式的,参见图11,设原始信号为 $S_1(t)$,经过信道后因为失真而变成 $S_2(t)$,对 $S_2(t)$ 进行二次微分 $\left[\frac{d^2}{dt^2} S_2(t)\right]$ 、再倒相,然后加到 $S_2(t)$ 上去,得到:

$$S_3(t) = S_2(t) + \frac{d^2}{dt^2} S_2(t) \quad (10)$$

比较 $S_3(t)$ 与 $S_1(t)$,可见边缘部分得到加强,失真得到一定的补偿,从而使观众对图像的印象感有所改善。比较式(10)与式(7)可以看出,它们的运算基本上是一样的,而式(7)是侧抑制现象的原始模型,因此可以说,二次微分式“勾边电路”所起的作用,实际上与侧抑制网络所起的作用是一样的,或者说是等效的。

在彩色电视中,采用了一种更为复杂的轮廓增强技术,其基本原理与侧抑制网络是一致的,只不过大为简化罢了。由于孔隙效应等原因,图像信号在摄像和

传送过程中质量变坏,使观众看起来比较模糊、轮廓不太清楚,这可用电子学线路得到水平校正(图12)。为了在垂直方向上也得到校正,必须使用两根超声延时线,把依时间轴展开的电视图像,又部分地回复到依空间关系进行顺序加工,最后发送的是加工后的信号。这种轮廓增强技术取得的效果是比较明显的,使观众的印象变佳;一般说来,清晰度可增加几十线甚至上百线之多。

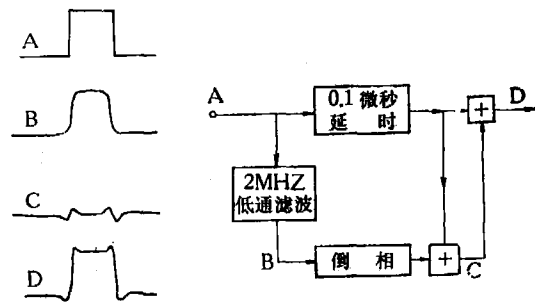


图 12 水平轮廓增强电路

但是这种轮廓加强技术与鲨的侧抑制网络相比,差距还是很大的。首先,电视系统对图像加工的方式是把图像依时间轴展开,即对图形进行扫描;而鲨眼是一种“多端网络”,进行的是“平行加工”。其次,电视系统中使用延时线,把依时间轴展开的图形部分地变成空间关系,但毕竟是顺序进行,与侧抑制网络的循环特性有一定差距;从数学逼近的观点来看,前者只是后者的一次近似。最后,电视系统中即使利用两根延时线,进行水平和垂直两个方向上的加工(十字花式的加工),也只能实现上下左右几个像素对中间像素的加工作用,与鲨眼中“多方向多层次”式的相互抑制作用,差别也很大。

然而,尽管存在上述差距,在电视系统中采用类似于侧抑制的轮廓增强技术,或者针对人眼的特点进行轮廓增强,效果是毋庸置疑的。同样,侧抑制网络对于图像识别系统(文字识别、图片识别等)的预加工部分也有一定用处。

名词解释

同功酶 (isozymes)

同功酶是指一种酶的多种形式,它们在催化相同的反应时,对最佳反应条件如pH和底物浓度的要求方面有所区别,同功酶是由成双的多肽亚基构成的复杂蛋白质,例如,乳酸脱氢酶(LDH)是由A和B两种多肽亚基构成的四聚体,共有五个同功酶,可用符号AAAA、AAAB、AABB、ABBB和BBBB表示。同功酶往往具有不同的等电点,因此可用电泳法分离。